

Оглавление

Предисловие	11
Требования и цели	11
Условные обозначения	11
Образцы кода	12
Глава 1. Нейросеть	13
Создание умных машин	13
Ограничения традиционных компьютерных программ	13
Механика машинного обучения	15
Нейрон	19
Выражение линейных персептронов в виде нейронов	20
Нейросети с прямым распространением сигнала	21
Линейные нейроны и их ограничения	24
Нейроны с сигмоидой, гиперболическим тангенсом и усеченные линейные	25
Выходные слои с функцией мягкого максимума	27
Резюме	28
Глава 2. Обучение нейросетей с прямым распространением сигнала	29
Проблема фастфуда	29
Градиентный спуск	31
Дельта-правило и темп обучения	32
Градиентный спуск с сигмоидными нейронами	34
Алгоритм обратного распространения ошибок	35
Стохастический и мини-пакетный градиентный спуск	38
Переобучение и наборы данных для тестирования и проверки	39
Борьба с переобучением в глубоких нейросетях	46
Резюме	49
Глава 3. Нейросети в TensorFlow	50
Что такое TensorFlow?	50
Сравнение TensorFlow с альтернативами	51
Установка TensorFlow	52
Создание переменных TensorFlow и работа с ними	52
Операции в TensorFlow	54
Тензоры-заполнители	55
Сессии в TensorFlow	56

Области видимости переменной и совместное использование переменных	58
Управление моделями на CPU и GPU	61
Создание модели логистической регрессии в TensorFlow	63
Журналирование и обучение модели логистической регрессии	66
Применение TensorBoard для визуализации вычислительного графа и обучения	68
Создание многослойной модели для MNIST в TensorFlow	70
Резюме	72
Глава 4. Не только градиентный спуск	73
Проблемы с градиентным спуском	73
Локальные минимумы на поверхности ошибок глубоких сетей	74
Определимость модели	75
Насколько неприятны сомнительные локальные минимумы в нейросетях?	76
Плоские области на поверхности ошибок	80
Когда градиент указывает в неверном направлении	82
Импульсная оптимизация	85
Краткий обзор методов второго порядка	88
Адаптация темпа обучения	89
AdaGrad — суммирование исторических градиентов	89
RMSProp — экспоненциально взвешенное скользящее среднее градиентов	91
Adam — сочетание импульсного метода с RMSProp	91
Философия при выборе метода оптимизации	93
Резюме	94
Глава 5. Сверточные нейросети	95
Нейроны и зрение человека	95
Недостатки выбора признаков	95
Обычные глубокие нейросети не масштабируются	99
Фильтры и карты признаков	100
Полное описание сверточного слоя	105
Max Pooling (операция подвыборки)	108
Полное архитектурное описание сверточных нейросетей	110
Работа с MNIST с помощью сверточных сетей	111
Предварительная обработка изображений улучшает работу моделей	113
Ускорение обучения с помощью пакетной нормализации	114
Создание сверточной сети для CIFAR-10	117
Визуализация обучения в сверточных сетях	120
Применение сверточных фильтров для воссоздания художественных стилей	123
Обучаем сверточные фильтры в других областях	125
Резюме	125
Глава 6. Плотные векторные представления и обучение представлений	126
Обучение представлений в пространстве низкой размерности	126
Метод главных компонент	127
Мотивация для архитектуры автокодера	129
Реализация автокодера в TensorFlow	130

Шумопонижение для повышения эффективности плотных векторных представлений	143
Разреженность в автокодерах	146
Когда контекст информативнее, чем входной вектор данных	149
Технология Word2Vec	152
Реализация архитектуры Skip-Gram	155
Резюме	161
Глава 7. Модели анализа последовательностей	162
Анализ данных переменной длины	162
seq2seq и нейронные N-граммные модели	163
Реализация разметки частей речи	165
Определение зависимостей и SyntaxNet	173
Лучевой поиск и глобальная нормализация	178
Когда нужна модель глубокого обучения с сохранением состояния	181
Рекуррентные нейронные сети	183
Проблема исчезающего градиента	185
Нейроны долгой краткосрочной памяти (long short-term memory, LSTM)	188
Примитивы TensorFlow для моделей РНС	193
Реализация модели анализа эмоциональной окраски	194
Решение задач класса seq2seq при помощи рекуррентных нейронных сетей	199
Дополнение рекуррентных сетей вниманием	201
Разбор нейронной сети для перевода	204
Резюме	232
Глава 8. Нейронные сети с дополнительной памятью	233
Нейронные машины Тьюринга	233
Доступ к памяти на основе внимания	235
Механизмы адресации памяти в NTM	236
Дифференцируемый нейронный компьютер	240
Запись без помех в DNC	242
Повторное использование памяти в DNC	244
Временное связывание записей DNC	245
Понимание головки чтения DNC	246
Сеть контроллера DNC	246
Визуализация работы DNC	248
Реализация DNC в TensorFlow	250
Обучение DNC чтению и пониманию	256
Резюме	258
Глава 9. Глубокое обучение с подкреплением	259
Глубокое обучение с подкреплением и игры Atari	259
Что такое обучение с подкреплением?	260
Марковские процессы принятия решений (MDP)	262
Стратегия	264
Будущая выгода	264
Дисконтирование будущих выгод	265

Исследование и использование	266
ϵ -жадность	267
Нормализованный алгоритм ϵ -жадности	267
Изучение стратегии и ценности	268
Изучение стратегии при помощи градиента по стратегиям	268
Тележка с шестом и градиенты по стратегиям	269
OpenAI Gym	269
Создание агента	270
Создание модели и оптимизатора	272
Семплирование действий	273
Фиксация истории	273
Основная функция градиента по стратегиям	274
Работа PGAgent в примере с тележкой с шестом	276
Q-обучение и глубокие Q-сети	277
Уравнение Беллмана	278
Проблемы итерации по ценностям	279
Аппроксимация Q-функции	279
Глубокая Q-сеть (DQN)	279
Обучение DQN	280
Стабильность обучения	280
Целевая Q-сеть	281
Повторение опыта	281
От Q-функции к стратегии	282
DQN и марковское предположение	282
Решение проблемы марковского предположения в DQN	282
Игра в Breakout при помощи DQN	283
Создание архитектуры	286
Занесение кадров в стек	286
Задание обучающих операций	287
Обновление целевой Q-сети	287
Реализация повторения опыта	287
Основной цикл DQN	289
Результаты DQNAgent в Breakout	292
Улучшение и выход за пределы DQN	292
Глубокие рекуррентные Q-сети (DRQN)	293
Продвинутый асинхронный агент-критик (A3C)	293
UNsupervised REinforcement and Auxiliary Learning (UNREAL; подкрепление без учителя и вспомогательное обучение)	294
Резюме	295
Примечания	296
Благодарности	300
Несколько слов об обложке	301
Об авторе	302

ГЛАВА 1

Нейросеть

Создание умных машин

Мозг — самый невероятный орган. Именно он определяет, как мы воспринимаем всё, что видим, слышим, обоняем, пробуем на вкус и осязаем. Он позволяет хранить воспоминания, испытывать эмоции и даже мечтать. Без мозга мы были бы примитивными организмами, способными лишь на простейшие рефлексы. В целом он делает человека разумным.

Мозг ребенка весит меньше полукилограмма, но как-то решает задачи, пока недоступные даже самым большим и мощным компьютерам. Всего через несколько месяцев после рождения дети способны распознавать лица родителей, отделять объекты от фона и даже различать голоса. За первый год у них развивается интуитивное понимание естественной физики, они учатся видеть, где находятся частично или полностью скрытые от них объекты, и ассоциировать звуки с их значениями. Уже в раннем возрасте они на высоком уровне овладевают грамматикой, а в их словаре появляются тысячи слов¹.

Десятилетиями мы мечтали о создании разумных машин с таким же мозгом, как у нас: роботов-помощников для уборки в доме; машин, которые управляют собой сами; микроскопов, автоматически выявляющих болезни. Но создание машин с искусственным интеллектом требует решения сложнейших вычислительных задач в истории, которые, однако, наш мозг способен рассуждать в доли секунды. Для этого нужно разработать иной способ программирования компьютеров при помощи методов, которые появились в основном в последние десять лет. Это очень активная отрасль в исследованиях искусственного интеллекта, которая получила название *глубокого обучения*.

Ограничения традиционных компьютерных программ

Почему некоторые задачи компьютерам решать тяжело? Стандартные программы доказали свою состоятельность в двух областях: 1) они очень быстро ведут вычисления; 2) они неукоснительно следуют инструкциям. Если

вы финансист и вам нужно провести сложные математические подсчеты, вам повезло. Типовые программы вам в помощь. Но представьте себе, что нам нужно сделать кое-что поинтереснее: например, написать программу для автоматического распознавания почерка. Возьмем за основу рис. 1.1.



Рис. 1.1. Изображение из массива рукописных данных MNIST²

Хотя каждая цифра на рисунке слегка отличается от предыдущей, мы легко опознаем в первом ряде нули, во втором — единицы и т. д. Теперь напишем компьютерную программу, которая решит ту же задачу. Какие правила нужно задать, чтобы различать цифры?



Рис. 1.2. Ноль, алгоритмически трудноотличимый от шестерки

Начнем с простого. Например, укажем, что нулю соответствует изображение окружного замкнутого контура. Все примеры с рис. 1.1, кажется,

удовлетворяют этому определению, но таких признаков недостаточно. Что, если у кого-то ноль — не всегда замкнутая фигура? И как отличить такой ноль (см. рис. 1.2) от шестерки?

Можно задать рамки расстояния между началом и концом петли, но не очень понятно какие. И это только начало проблем. Как различить тройки и пятерки? Четверки и девятки? Можно добавлять правила, или *признаки*, после тщательных наблюдений и месяцев проб и ошибок, но понятно одно: процесс будет нелегок.

Многие другие классы задач попадают в ту же категорию: распознавание объектов и речи, автоматический перевод и т. д. Мы не знаем, какие программы писать для них, потому что не понимаем, как с этим справляется наш мозг. А если бы и знали, такая программа была бы невероятно сложной.

Механика машинного обучения

Для решения таких задач нужен совсем иной подход. Многое из того, что мы усваиваем в школе, похоже на стандартные компьютерные программы. Мы учимся перемножать числа, решать уравнения и получать результаты, следуя инструкциям. Но навыки, которые мы получаем в самом юном возрасте и считаем самыми естественными, усваиваются не из формул, а на примерах.

Например, в двухлетнем возрасте родители не учат нас узнавать собаку, измеряя форму ее носа или контуры тела. Мы можем отличать ее от других существ, потому что нам показали много примеров собак и несколько раз исправили наши ошибки. Уже при рождении мозг дал нам модель, описывающую наше мировосприятие. С возрастом благодаря ей мы стали на основе получаемой сенсорной информации строить предположения о том, с чем сталкиваемся. Если предположение подтверждалось родителями, это способствовало укреплению модели. Если же они говорили, что мы ошиблись, мы меняли модель, дополняя ее новой информацией. С опытом она становится все точнее, поскольку включает больше примеров. И так происходит на подсознательном уровне, мы этого даже не понимаем, но можем с выгодой использовать.

Глубокое обучение — отрасль более широкой области исследований искусственного интеллекта: *машинного обучения*, подразумевающего получение знаний из примеров. Мы не задаем компьютеру огромный список правил решения задачи, а предоставляем модель, с помощью которой он может сравнивать примеры, и краткий набор инструкций для ее модификации

в случае ошибки. Со временем она должна улучшиться настолько, чтобы решать поставленные задачи очень точно.

Перейдем к более строгому изложению и сформулируем идею математически. Пусть наша модель — функция $h(\mathbf{x}, \theta)$. Входное значение \mathbf{x} — пример в векторной форме. Допустим, если \mathbf{x} — изображение в оттенках серого, компоненты вектора — интенсивность пикселей в каждой позиции, как показано на рис. 1.3.

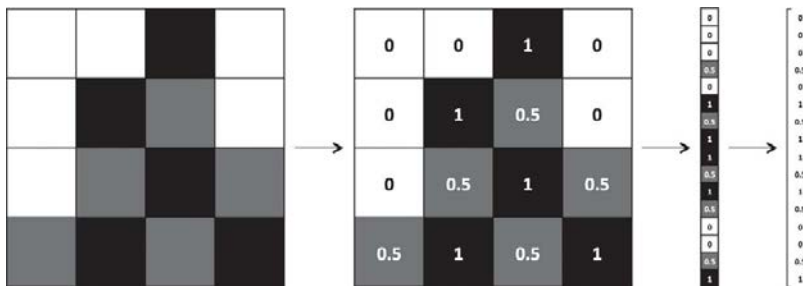


Рис. 1.3. Векторизация изображения для алгоритма машинного обучения

Входное значение θ — вектор параметров, используемых в нашей модели. Программа пытается усовершенствовать их значения на основе растущего числа примеров. Подробнее мы рассмотрим этот вопрос в главе 2.

Чтобы интуитивно понимать модели машинного обучения, рассмотрим пример. Допустим, мы решили узнать, как предсказывать результаты экзаменов, если известно количество часов сна и учебы в день перед испытанием. Мы собираем массив данных и при каждом замере $\mathbf{x} = [x_1 \ x_2]^T$ записываем количество часов сна (x_1), учебы (x_2) и отмечаем, выше или ниже они средних по классу. Наша цель — создать модель $h(\mathbf{x}, \theta)$ с вектором параметров $\theta = [\theta_0 \ \theta_1 \ \theta_2]^T$, чтобы:

$$h(x, \theta) = \begin{cases} -1, & \text{если } x^T \cdot \begin{bmatrix} \theta_1 \\ \theta_2 \end{bmatrix} + \theta_0 < 0 \\ 1, & \text{если } x^T \cdot \begin{bmatrix} \theta_1 \\ \theta_2 \end{bmatrix} + \theta_0 \geq 0 \end{cases}.$$

По нашему предположению, проект модели $h(\mathbf{x}, \theta)$ будет таким, как описано выше (с геометрической точки зрения он описывает линейный классификатор, делящий плоскость координат надвое). Теперь мы хотим узнать вектор параметров θ , чтобы научить модель делать верные предсказания

(-1 , если результаты ниже среднего уровня, и 1 — если выше) на основании примерного входного значения \mathbf{x} . Такая модель называется линейным персептроном и используется с 1950-х³. Предположим, наши данные соответствуют тому, что показано на рис. 1.4.

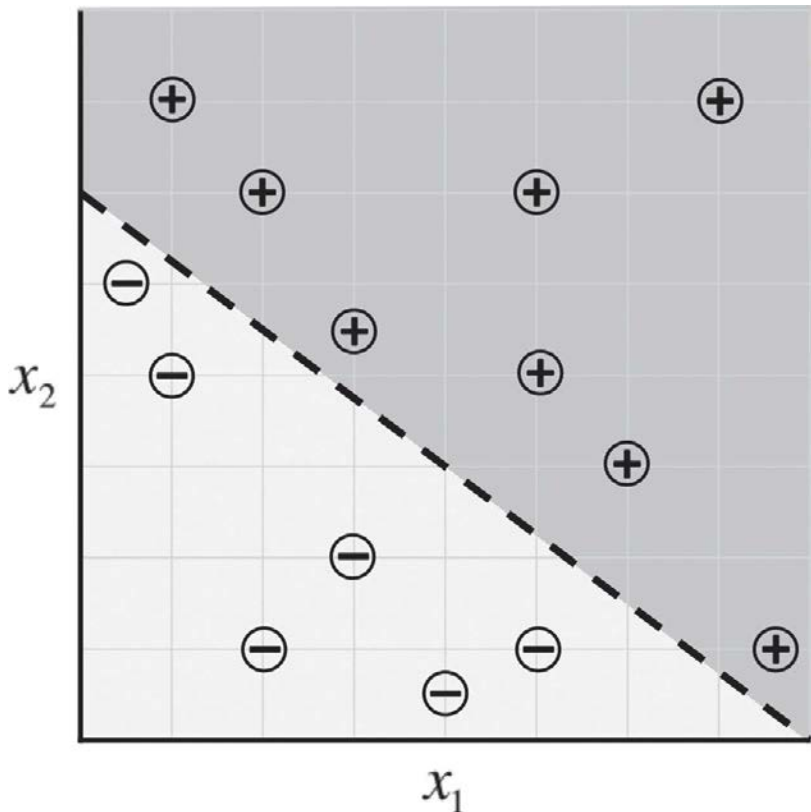


Рис. 1.4. Образец данных для алгоритма предсказания экзаменов и потенциального классификатора

Оказывается, при $\theta = [-24 \ 3 \ 4]^T$ модель машинного обучения способна сделать верное предсказание для каждого замера:

$$h(x, \theta) = \begin{cases} -1, & \text{если } 3x_1 + 4x_2 - 24 < 0 \\ 1, & \text{если } 3x_1 + 4x_2 - 24 \geq 0. \end{cases}$$

Оптимальный вектор параметров θ устанавливает классификатор так, чтобы можно было сделать как можно больше корректных предсказаний.

Обычно есть множество (иногда даже бесконечное) возможных оптимальных вариантов θ . К счастью, в большинстве случаев альтернативы настолько близки, что разницей между ними можно пренебречь. Если это не так, можно собрать больше данных, чтобы сузить выбор θ .

Звучит разумно, но есть много очень серьезных вопросов. Во-первых, откуда берется оптимальное значение вектора параметров θ ? Решение этой задачи требует применения метода *оптимизации*. Оптимизаторы стремятся повысить производительность модели машинного обучения, последовательно изменяя ее параметры, пока погрешность не станет минимальной.

Мы подробнее расскажем об обучении векторов параметров в главе 2, описывая процесс *градиентного спуска*⁴. Позже мы постараемся найти способы еще больше увеличить эффективность этого процесса.

Во-вторых, очевидно, что эта модель (линейного персептрона) имеет ограниченный потенциал обучения. Например, случаи распределения данных на рис. 1.5 нельзя удобно описать с помощью линейного персептрона.

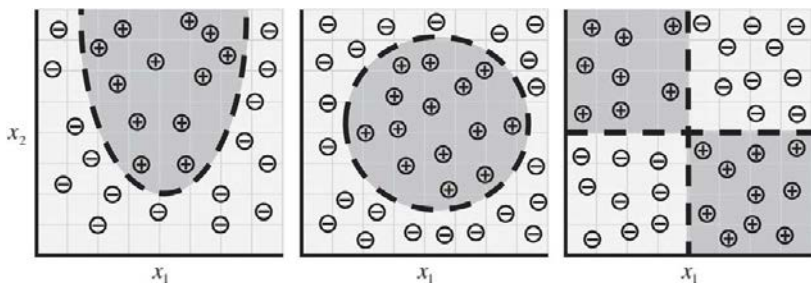


Рис. 1.5. По мере того как данные принимают более комплексные формы, нам становятся необходимы более сложные модели для их описания

Но эти ситуации — верхушка айсберга. Когда мы переходим к более комплексным проблемам — распознаванию объектов или анализу текста, — данные приобретают очень много измерений, а отношения, которые мы хотим описать, становятся крайне нелинейными. Чтобы отразить это, в последнее время специалисты по машинному обучению стали строить модели, напоминающие структуры нашего мозга. Именно в этой области, обычно называемой глубоким обучением, ученые добились впечатляющих успехов в решении проблем компьютерного зрения и обработки естественного языка. Их алгоритмы не только значительно превосходят все остальные, но даже соперничают по точности с достижениями человека, а то и превосходят их.

Нейрон

Нейрон — основная единица мозга. Небольшой его фрагмент, размером примерно с рисовое зернышко, содержит более 10 тысяч нейронов, каждый из которых в среднем формирует около 6000 связей с другими такими клетками⁵. Именно эта громоздкая биологическая сеть позволяет нам воспринимать мир вокруг. В этом разделе наша задача — воспользоваться естественной структурой для создания моделей машинного обучения, которые решают задачи аналогично. По сути, нейрон оптимизирован для получения информации от «коллег», ее уникальной обработки и пересылки результатов в другие клетки. Процесс отражен на рис. 1.6. Нейрон получает входную информацию по дендритам — структурам, напоминающим антенны. Каждая из входящих связей динамически усиливается или ослабляется на основании частоты использования (так мы учимся новому!), и сила соединений определяет вклад входящего элемента информации в то, что нейрон выдаст на выходе. Входные данные оцениваются на основе этой силы и объединяются в *клеточном теле*. Результат трансформируется в новый сигнал, который распространяется по клеточному аксону к другим нейронам.

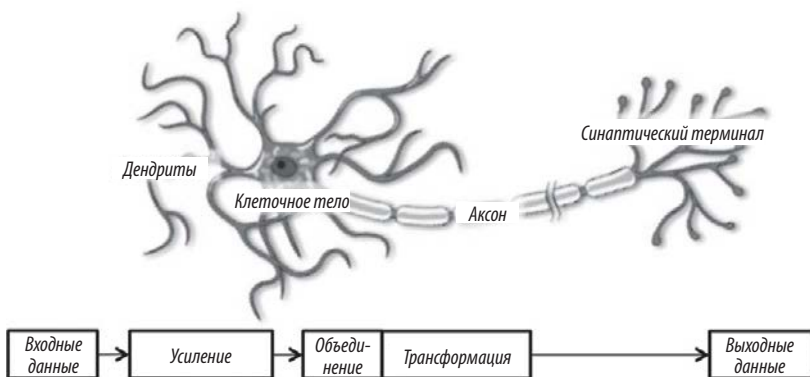


Рис. 1.6. Функциональное описание биологической структуры нейрона

Мы можем преобразовать функциональное понимание работы нейронов в нашем мозге в искусственную модель на компьютере. Последняя описана на рис. 1.7, где применен подход, впервые введенный в 1943 году Уорреном Маккаллоу и Уолтером Питтсом⁶. Как и биологические нейроны, искусственный получает некоторый объем входных данных — x_1, x_2, \dots, x_n , каждый элемент которых умножается на определенное значение веса — w_1, w_2, \dots, w_n . Эти значения, как и раньше, суммируются, давая логит

нейрона: $z = \sum_{i=0}^n w_i x_i$. Часто он включает также смещение (константа, здесь не показана). Логит проходит через функцию активации f , образуя выходное значение $y = f(z)$. Это значение может быть передано в другие нейроны.

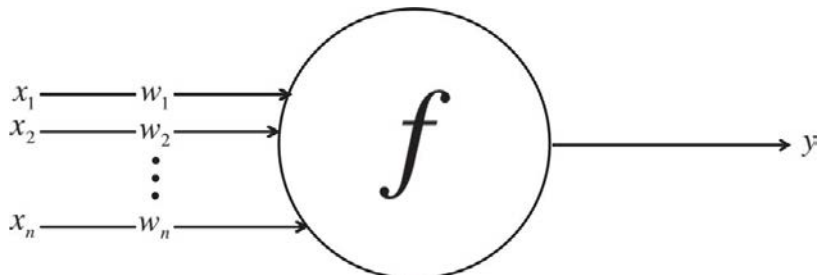


Рис. 1.7. Схема работы нейрона в искусственной нейросети

Математическое обсуждение искусственного нейрона мы закончим, выразив его функции в векторной форме. Представим входные данные нейрона как вектор $\mathbf{x} = [x_1 \ x_2 \ \dots \ x_n]$, а веса нейрона как $\mathbf{w} = [w_1 \ w_2 \ \dots \ w_n]$. Теперь выходные данные нейрона можно выразить как $y = f(\mathbf{x} \cdot \mathbf{w} + b)$, где b — смещение. Мы способны вычислить выходные данные из скалярного произведения входного вектора на вектор весов, добавив смещение и получив логит, а затем применив функцию активации. Это кажется тривиальным, но представление нейронов в виде ряда векторных операций очень важно: только в таком формате их используют в программировании.

Выражение линейных персепtronов в виде нейронов

Выше мы говорили об использовании моделей машинного обучения для определения зависимости между результатом на экзаменах и временем, потраченным на обучение и сон. Для решения задачи мы создали линейный классификатор-персептрон, который делит плоскость декартовых координат надвое:

$$h(x, \theta) = \begin{cases} -1, & \text{если } 3x_1 + 4x_2 - 24 < 0 \\ 1, & \text{если } 3x_1 + 4x_2 - 24 \geq 0 \end{cases}$$

Как показано на рис. 1.4, это оптимальный вариант для θ : он позволяет корректно классифицировать все примеры в нашем наборе данных. Здесь мы видим, что наша модель h работает по образцу нейрона. Посмотрите

на нейрон на рис. 1.8. У него два входных значения, смещение, и он использует функцию:

$$f(z) = \begin{cases} -1, & \text{если } z < 0 \\ 1, & \text{если } z \geq 0 \end{cases}$$

Легко показать, что линейный персепtron и нейронная модель полностью эквивалентны. И просто продемонстрировать, что одиночные нейроны более выразительны, чем линейные персептраны. Каждый из них может быть выражен в виде одиночного нейрона, но последние могут также отражать модели, которые нельзя выразить с помощью линейного персептрана.

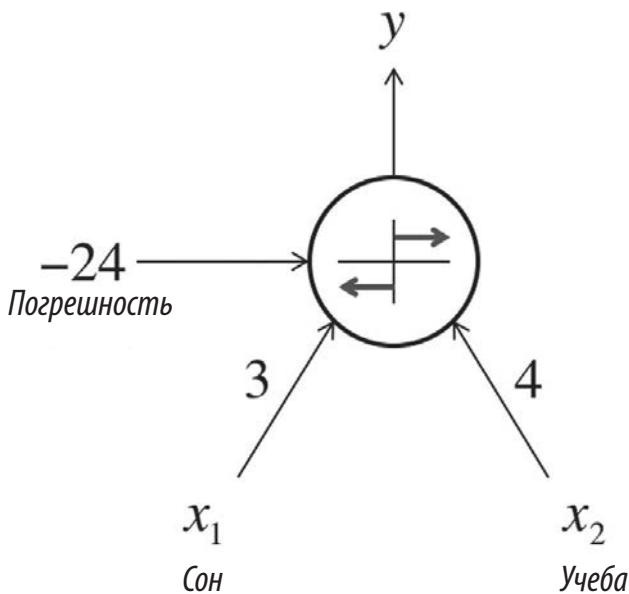


Рис. 1.8. Выражение результатов экзамена в виде нейрона

Нейросети с прямым распространением сигнала

Одиночные нейроны мощнее линейных персептранов, но не способны решить сложные проблемы обучения. Поэтому наш мозг состоит из множества нейронов. Например, при помощи одного из них невозможно различить написанные от руки цифры. И чтобы решать более сложные задачи, нам нужны модели машинного обучения.

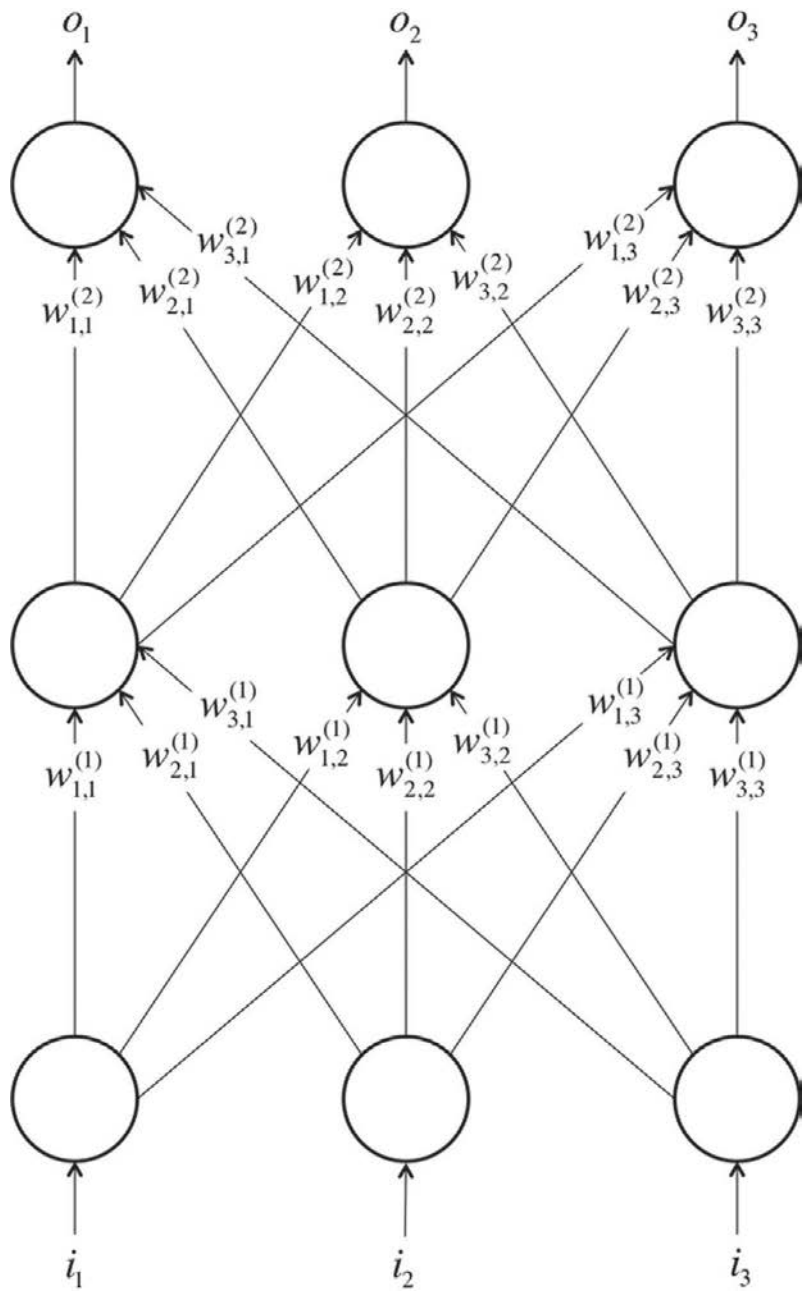


Рис. 1.9. Простой пример нейросети с прямым распространением сигнала с тремя слоями (входной, скрытый, выходной) и тремя нейронами на каждый слой

Нейроны в человеческом мозге расположены слоями. Его кора, по большей части отвечающая за интеллект, состоит из шести слоев. Информация перетекает по ним, пока сенсорные данные не преобразуются в концептуальное понимание⁷. Например, самый нижний слой визуальной зоны коры получает необработанные визуальные данные от глаз. Эта информация преобразуется в каждом следующем слое и передается далее, пока на шестом слое мы не заключаем, что видим кошку, банку газировки или самолет. На рис. 1.9 показан упрощенный вариант этих слоев.

На основе этих идей мы можем создать *искусственную нейросеть*. Она возникает, когда мы начинаем соединять нейроны друг с другом, со входными и выходными узлами, которые соответствуют ответам сети на изучаемую задачу. На рис. 1.9 показан простейший пример искусственной нейросети, схожей по архитектуре с той, что была описана в 1943 году в работе Маккаллоу и Питтса. В нижний слой поступают входные данные. Верхний (выходные узлы) вычисляет ответ. Средний слой (слой) нейронов называется скрытым, и здесь $w_{i,j}^{(k)}$ — вес соединения i -го нейрона в k -м слое с j -м нейроном в $(k + 1)$ -м слое. Эти веса образуют вектор параметров θ , и, как и ранее, наша способность решать задачи при помощи нейросетей зависит от нахождения оптимальных значений для θ .

В этом примере соединения устанавливаются только от нижних слоев к верхним. Отсутствуют связи между нейронами одного уровня, нет таких, которые передают данные от высшего слоя к низшему. Подобные нейросети называются *сетями с прямым распространением сигнала*, и мы начнем с них, потому что их анализировать проще всего. Такой разбор (процесс выбора оптимальных значений для весов) мы предложим в главе 2. Более сложные варианты связей будут рассмотрены в дальнейших главах.

Ниже мы рассмотрим основные типы слоев, используемые в нейросетях с прямым распространением сигнала. Но для начала несколько важных замечаний.

1. Как мы уже говорили, слои нейронов между первым (входным) и последним (выходным) слоями называются скрытыми. Здесь в основном и происходят волшебные процессы, нейросеть пытается решить поставленные задачи. Раньше (как при распознавании рукописных цифр) мы тратили много времени на определение полезных свойств; эти скрытые слои автоматизируют процесс. Рассмотрение процессов в них может многое сказать о свойствах, которые сеть научилась автоматически извлекать из данных.
2. В этом примере у каждого слоя один набор нейронов, но это не необходимое и не рекомендуемое условие. Чаще в скрытых слоях нейронов меньше, чем во входном: так сеть обучается сжатому представлению информации.

Например, когда глаза получают «сырые» пиксельные значения, мозг обрабатывает их в рамках границ и контуров. Скрытые слои биологических нейронов мозга заставляют нас искать более качественное представление всего, что мы воспринимаем.

3. Необходимо, чтобы выход каждого нейрона был связан с входами всех нейронов следующего уровня. Выбор связей здесь — искусство, которое приходит с опытом. Этот вопрос мы обсудим детально при изучении примеров нейросетей.

4. Входные и выходные данные — *векторные* представления. Например, можно изобразить нейросеть, в которой входные данные и конкретные пиксельные значения картинки в режиме RGB представлены в виде вектора (см. рис. 1.3). Последний слой может иметь два нейрона, которые относятся с ответом на задачу: [1, 0], если на картинке собака; [0, 1], если кошка; [1, 1], если есть оба животных; [0, 0], если нет ни одного из них.

Заметим, что, как и нейрон, можно математически выразить нейросеть как серию операций с векторами и матрицами. Пусть входные значение i -го слоя сети — вектор $\mathbf{x} = [x_1 \ x_2 \ \dots \ x_n]$. Нам надо найти вектор $\mathbf{y} = [y_1 \ y_2 \ \dots \ y_m]$, образованный распространением входных данных по нейронам. Мы можем выразить это как простое умножение матрицы, создав матрицу весов размера $n \times m$ и вектор смещения размера m . Каждый столбец будет соответствовать нейрону, причем j -й элемент составлен весу соединения с j -м входящим элементом. Иными словами, $\mathbf{y} = f(\mathbf{w}^T \mathbf{x} + \mathbf{b})$, где функция активации применяется к вектору поэлементно. Эта новая формулировка очень пригодится, когда мы начнем реализовывать эти сети в программах.

Линейные нейроны и их ограничения

Большинство типов нейронов определяются функцией активации f , примененной к логиту z . Сначала рассмотрим слои нейронов, которые используют линейную функцию $f(z) = az + b$. Например, нейрон, который пытается подсчитать стоимость блюда в кафе быстрого обслуживания, будет линейным, $a = 1$ и $b = 0$. Используя $f(z) = z$ и веса, эквивалентные стоимости каждого блюда, программа присвоит линейному нейрону на рис. 1.10 определенную тройку из бургеров, картошки и газировки, и он выдаст цену их сочетания.

Вычисления с линейными нейронами просты, но имеют серьезные ограничения. Несложно доказать, что любая нейросеть с прямым распространением сигнала, состоящая только из таких нейронов, может быть представлена

как сеть без скрытых слоев. Это проблема: как мы уже говорили, именно скрытые слои позволяют узнавать важные свойства входных данных. Чтобы научиться понимать сложные отношения, нужно использовать нейроны с определенного рода нелинейностью.

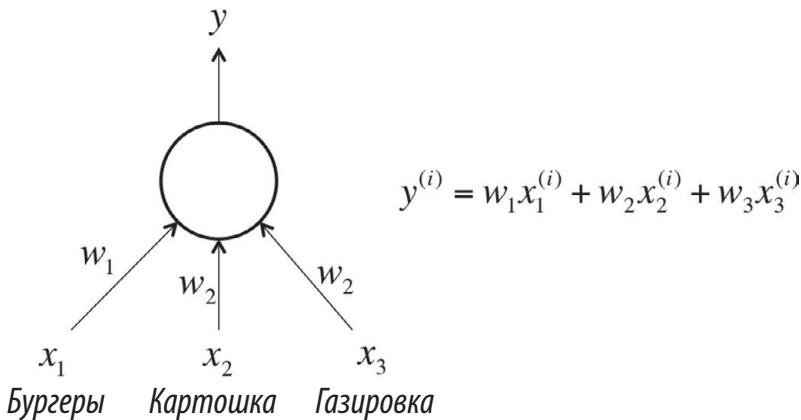


Рис. 1.10. Пример линейного нейрона

Нейроны с сигмоидой, гиперболическим тангенсом и усеченные линейные

На практике для вычислений применяются три типа нелинейных нейронов. Первый называется сигмоидным и использует функцию:

$$f(z) = \frac{1}{1+e^{-z}}.$$

Интуитивно это означает, что, если логит очень мал, выходные данные логистического нейрона близки к 0. Если логит очень велик — то к 1. Между этими двумя экстремумами нейрон принимает форму буквы S, как на рис. 1.11.

Нейроны гиперболического тангенса (tanh-нейроны) используют похожую S-образную нелинейность, но исходящие значения варьируют не от 0 до 1, а от -1 до 1. Формула для них предсказуемая: $f(z) = \tanh(z)$. Отношения между входным значением u и логитом z показаны на рис. 1.12. Когда используются S-образные нелинейности, часто предпочитают tanh-нейроны, а не сигмоидные, поскольку у tanh-нейронов центр находится в 0.

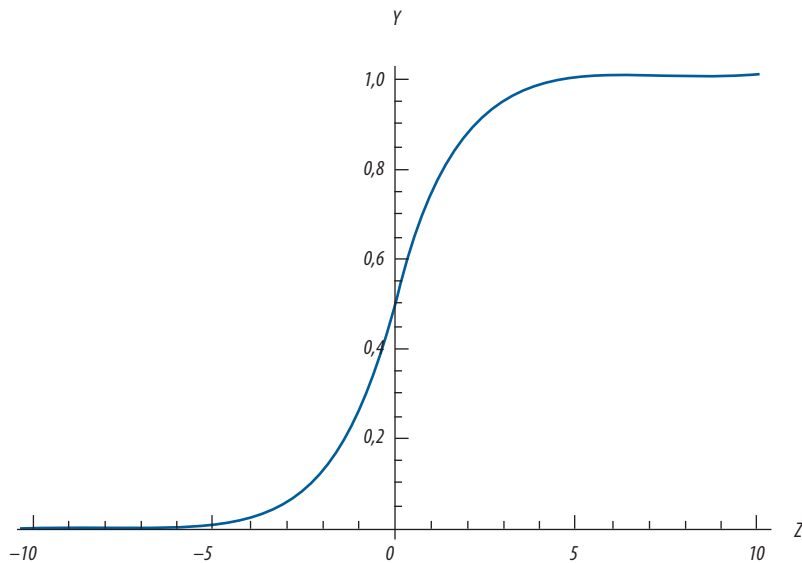


Рис. 1.11. Выходные данные сигмоидного нейрона с переменной z

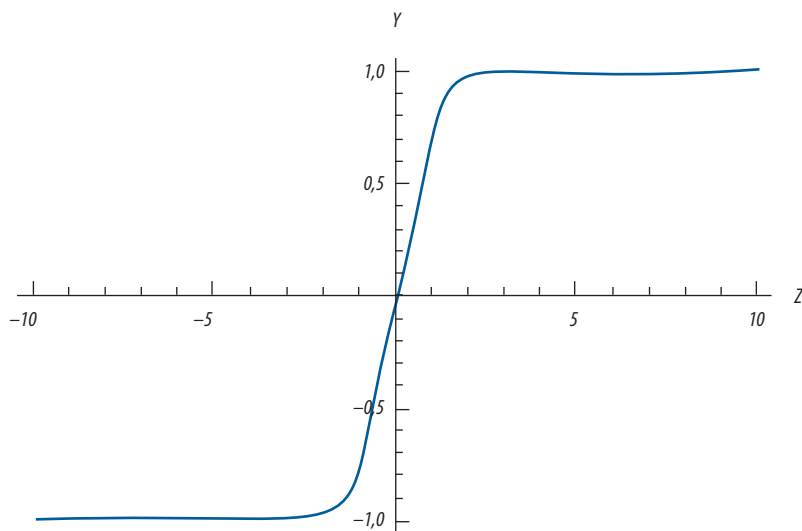


Рис. 1.12. Выходные данные \tanh -нейрона с переменной z

Еще один тип нелинейности используется нейроном с усеченным линейным преобразованием ($ReLU$). Здесь задействована функция $f(z) = \max(0, z)$, и ее график имеет форму хоккейной клюшки (рис. 1.13).

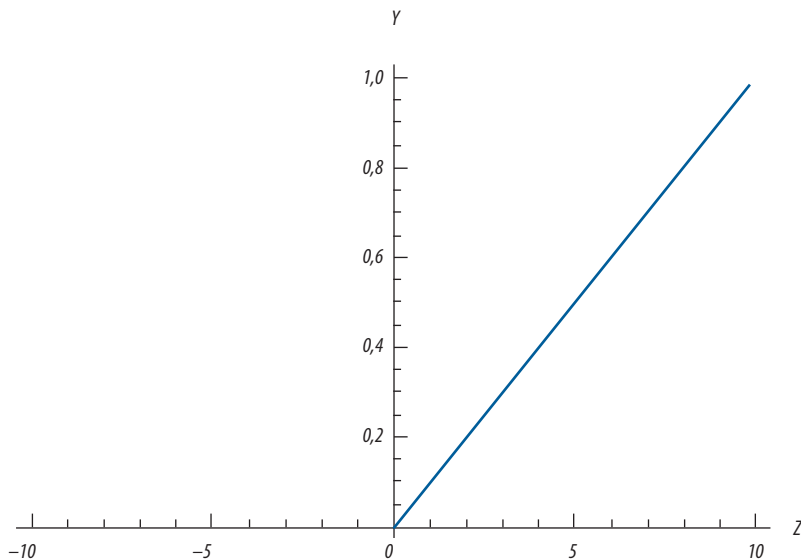


Рис. 1.13. Выходные данные ReLU-нейрона с переменной z

ReLU в последнее время часто выбирается для выполнения многих задач (особенно в системах компьютерного зрения) по ряду причин, несмотря на свои недостатки⁸. Этот вопрос мы рассмотрим в главе 5 вместе со стратегиями борьбы с потенциальными проблемами.

Выходные слои с функцией мягкого максимума

Часто нужно, чтобы выходной вектор был распределением вероятностей по набору взаимоисключающих значений. Допустим, нам нужно создать нейросеть для распознавания рукописных цифр из набора данных MNIST. Каждое значение (от 0 до 9) исключает остальные, но маловероятно, чтобы нам удалось распознать цифры со стопроцентной точностью. Распределение вероятностей поможет понять, насколько мы уверены в своих выводах. Желаемый выходной вектор приобретает такую форму, где $\sum_{i=0}^9 p_i = 1$:

$$[p_0 \ p_1 \ p_2 \ p_3 \ \dots \ p_9].$$

Для этого используется особый выходной слой, именуемый *слоем с мягким максимумом (softmax)*. В отличие от других типов, выходные данные нейрона в слое с мягким максимумом зависят от выходных данных всех остальных нейронов в нем. Нам нужно, чтобы сумма всех выходных значений

равнялась 1. Приняв z_i как логит i -го нейрона с мягким максимумом, мы можем достичь следующей нормализации, задав выходные значения:

$$y_i = \frac{e^{z_i}}{\sum_j e^{z_j}}.$$

При сильном предсказании одно из значений вектора будет близко к 1, остальные — к 0. При слабом останется несколько возможных значений, каждое из которых характеризуется своим уровнем вероятности.

Резюме

В этой главе мы дали базовые представления о машинном обучении и нейросетях. Мы рассказали о структуре нейрона, работе нейросетей с прямым распространением сигнала и важности нелинейности в решении сложных задач обучения. В следующей главе мы начнем создавать математический фундамент для обучения нейросети решению задач. Например, мы поговорим о нахождении оптимальных векторов параметров, лучших методов обучения нейросетей и основных проблемах. В последующих главах мы будем применять эти основополагающие идеи к более специализированным вариантам архитектуры нейросетей.